Veränderungen im Kohlenstoffgehalt der terrestrischen Biosphäre über glaziale Zeitskalen — eine Simulationsstudie

P. Köhler & H. Fischer

Alfred-Wegener-Institut für Polar- und Meeresforschung in der Helmholtz-Gemeinschaft Postfach 12 01 61, 27515 Bremerhaven, email: pkoehler@awi-bremerhaven.de

Alfred-Wegener-Institut für Polar- und Meeresforschung in der Helmholtz-Gemeinschaft

7usammenfassung

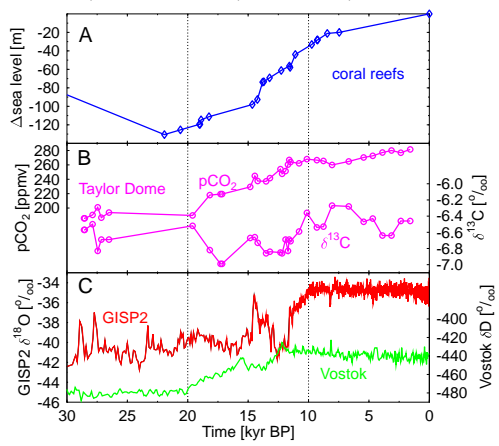
Der Kohlenstoffgehalt der terrestrischen Biosphäre während des Holozäns und des Letzten Glazialen Maximums (LGM) wurde mehrfach mit Hilfe von Daten und Gleichgewichtssimulationen abgeschätzt. Wir benutzen hier diese vormaligen Ergebnisse in einem einfachen global gemittelten Boxmodell der terrestrischen Biosphäre, das mit unterschiedlichen Klimaaufzeichnungen (Temperatur, pCO₂, Meeresspiegeländerung) angetrieben wird, um den Übergang vom LGM via Termination I ins Holozän zu berechnen und um die beobachteten Veränderungen in der Biosphäre zu erklären. Klimaantriebe für diese Art Modelltyp für rezente Fragen des Klimawandels sind zu stark um den Glazial/Interglazial-Übergang zu erklären. Ungefähr 1600 PgC waren während des LGMs als terrestrischer Kohlenstoff gebunden, 600 PgC weniger als zu vorindustriellen Zeiten. Die aus unseren Simulationen berechnete Freisetzung vormals im Ozean gebundenen Kohlenstoffes war während der vergangenen 20 kyr in Phase mit dem atmosphärischen pCO₂. Die berechneten Veränderungen in der isotopischen Signatur des ozeanischen δ¹³C stimmen gut mit Daten überein. Im Gegensatz zu anderen Studien kann jedoch auch die terrestrischen Biosphäre signifikant das atmosphärische δ¹³C Signal während der

Einleitung

Variationen im Paläoklima bestimmten auch die Veränderungen im Kohlenstoffgehalt der Landbiomasse. Momentan wird diskutiert, ob während des Glazial/Interglazial-Überganges Veränderungen im atmosphärischen pCO2 und δ^{13} C hauptsächlich durch den Ozean verursacht wurden, wohingegen der terrestrischen Biosphäre zu Zeiten des Holozäns und des LGMs eine dominante Rolle zugeschrieben wird (Indermühle et al., 1999; Broecker et al., 2001; Fischer et al., 2003).

In dieser Studie wollen wir die Diskussion mit einem durch paläoklimatische Daten angetriebenen transienten Modellierungsansatz erweitern.

Zeitabhängige Antriebskräfte. A: Meeresspiegel (Fairbanks, 1990). B: atmosphärisches pCO $_2$ aus dem Taylor Dome Eiskern (Smith et al., 1999). C: Eiskernisotopendaten als Proxys für Temperaturänderungen. GISP $_2$. Grönland (Grootes und Stuiver, 1997) und Vostok, Antarktis (Jouzel et al., 1987).

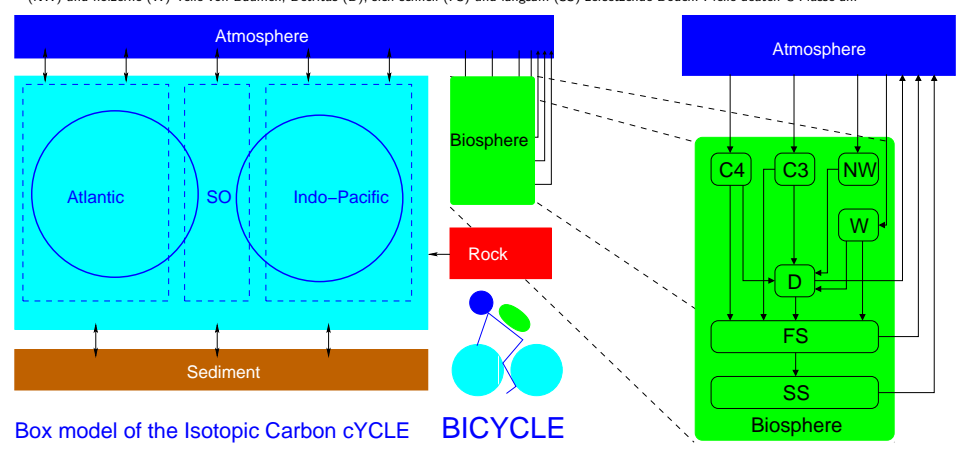


Modell und Daten

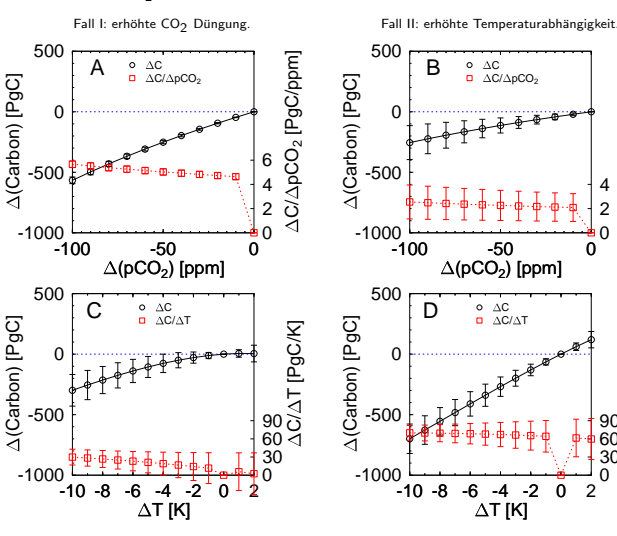
verantwortlich sein.

Unser Boxmodell der terrestrischen Biosphäre basiert auf früheren Arbeiten (Emanuel et al., 1984; Kheshgi und Jain, 2003). Der vorindustrielle Gleichgewichtszustand wurde mit Hilfe von Literaturwerten parametrisiert. Zu jener Zeit sind ungefähr 2200 PgC im terrestrischen System gebunden (Vegetation: 700 PgC; Böden: 1500 PgC). Unser Modell wird durch diverse Zeitreihen angetrieben. Über für Vegetation verfügbare Landfläche, CO2 Düngung, und durch Temperaturschwankungen induzierte metabolische Veränderungen in der Nettoprimärproduktion NPP und der Respiration wird die Dynamik der terrestrischen Biosphäre angetrieben. Während Meeresspiegländerungen nur eine untergeordnete Rolle spielen (\sim 4%), können die Temperatur- und CO2-Effekte jeweils allein für die beobachteten Glazial/Interglazial-Unterschiede

Modellstruktur von BICYCLE (Box model of the Isotopic Carbon cYCLE), dessen terrestrische Biosphäre hier verwendet wird. C4 und C3 Grassvegetation; nichthölzerne (NW) und hölzerne (W) Teile von Bäumen; Detritus (D); sich schnell (FS) und langsam (SS) zersetzende Böden. Pfeile deuten C-Flüsse an.



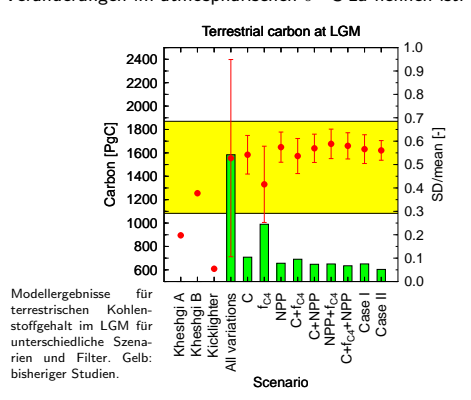
 $\hbox{ Der Einfluss unterschiedlichen CO$_2$ und Temperatur auf die Gesamtbiomasse wurde in Gleichgewichtssimulationen analysiert$



Ergebnisse

Rezente Antriebe sind zu stark um den glazialen Kohlenstoffgehalt in der Biosphäre zu erklären. Der Mittelwert des terrestrischen C im LGM aus ca. 10000 unterschiedlichen Antriebskombinationen bleibt mit 1600 PgC sehr stabil, sein Unsicherheitsbereich wird durch die Hinzunahme von zusätzlicher Informationen jedoch deutlich reduziert. Anhand detaillierter Untersuchungen identifizieren wir zwei Fälle von je 10-15 Einzelsimulationen, deren mittlere Dynamik bisherigen Untersuchungen entspricht. Sie unterscheiden sich weiterhin in der Stärke der Antriebskräfte (CO_2 Düngung vs. Temperatureffekt).

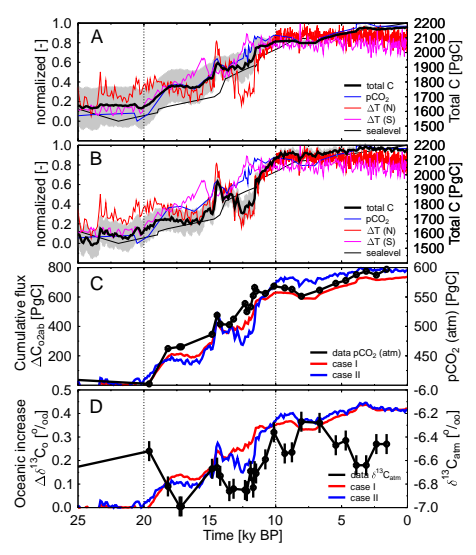
Es ist nun möglich, den resultierenden Fluss zwischen Ozean und Atmosphäre/Biosphäre zu berechnen. Während der Termination setzt der Ozean ca. 800 PgC frei. Dieser Kohlenstofffluss ist in Phase mit den atmosphärischen Veränderungen und in etwa das Vierfache des pCO2-Anstieges. Der Glazial/Interglazial-Anstieg in ozeanischem δ^{13} C von etwa 0.4% stimmt mit Messwerten überein. Aus diesem Ergebnis ergibt sich jedoch auch die Möglichkeit, dass auch auf glazialen Zeitskalen die terrestrische Biosphäre als treibende Kraft für die beobachten Veränderungen im atmosphärischen δ^{13} C zu nennen ist.



Transiente Modellergebnisse für der terrestrischen Biosphäre. A: erhöhte CO_2 Düngung; B: erhöhte Temperaturabhängigkeit). Grau unterlegt ist der Fehlerberich (1 SD). Kumulative Kohlenstofffüsse (C: Kohlenstoff; D: isotopische Signatur) aus dem Ozean in das Atmosphäre/ Biosphäre-Teilsystem. Simulationsergebnisse (I: erhöhte CO_2 Düngung; II: erhöhte Temperaturabhängigkeit) verglichen mit atmosphärischen Eiskemdaten aus Taylor Dome.

[PgC/ppm]

AC/ApCO₂



Referenzen

Broecker et al. 2001: G³ 2, 2001GC000177. Emanuel et al., 1984. Ecology 65:970–983. Fairbanks. 1990. Paleoceanography 5:937–948. Fischer et al. 2003. Mem Natl Inst Polar Res. 57: 121–138. Grootes, Stuiver, 1997. JGR 102, 26455-26470. Indermühle. et al. 1999. Nature 398:121–126. Jouzel et al. 1997. Nature 399: 403-408. Kheshgi, Jain 2003. GBC 17 1047 101029/2001GB001842 Smith et al. 1999. Nature 400:248–250.